



## پژوهش و فناوری محیط‌زیست

وبگاه نشریه: [www.journal.eri.acer.ir](http://www.journal.eri.acer.ir)

شایعه الکترونیکی: ۲۶۷۶-۲۰۶۰

پژوهشکده محیط‌زیست

# پایش وضعیت کیفی آب زیرزمینی، با استفاده از شاخص IRWQI<sub>GC</sub> ، مطالعه موردی: دشت فریمان، تربت جام

نسرین ایزدی مهر<sup>۱</sup>، قاسم ذوالفقاری<sup>۲</sup>

۱. دانش آموخته کارشناسی ارشد علوم و مهندسی محیط‌زیست، آلوگی محیط‌زیست، دانشکده جغرافیا و علوم محیطی، دانشگاه حکیم سبزواری

۲. دانشیار علوم و مهندسی محیط‌زیست، دانشکده جغرافیا و علوم محیطی، دانشگاه حکیم سبزواری.

اطلاعات مقاله	چکیده
نوع مقاله: پژوهشی	بهدلیل محدودیت منابع آبی بحث آلوگی آب‌های زیرزمینی مهم و مورد توجه است. هدف از این مطالعه تعیین کیفیت آب‌های زیرزمینی دشت فریمان- تربت‌جام با استفاده از شاخص IRWQI <sub>GC</sub> و بررسی تغییرات مکانی در بازه زمانی پاییز ۹۸- بهار ۹۹ بود. به این منظور در مجموع ۳۰ نمونه جمع‌آوری شده است و پارامترهای اسیدیته، سختی کل، کل جامدات محلول، هدایت الکتریکی و نیترات در سه فصل اندازه‌گیری شده‌اند. پهنه‌بندی مکانی نیز با نرم‌افزار GIS انجام گرفته است. طبق نتایج بدست آمده مقدار شاخص IRWQI <sub>GC</sub> در سه فصل پاییز ۹۸، زمستان ۹۸ و بهار ۹۹ به ترتیب ۴۵/۰، ۵۶/۳۶، ۴۵/۰۶ محاسبه شده است که طبق این نتایج محدوده مورد مطالعه در فصل پاییز ۹۸ دارای کیفیت آب زیرزمینی نسبتاً خوب بوده است و در دو فصل زمستان ۹۸ و بهار ۹۹ دارای کیفیت آب زیرزمینی نسبتاً بد می‌باشد. بررسی کیفیت آب زیرزمینی در محله‌های نمونه‌برداری (چاههای مناطق رباط، سفید سنگ، رحمت‌آباد، قلعه گک، حیان، قلعه خاکی، منصور به، اراضی کوشک، احمدآباد و رخنه گرگ) نشان داده است، بهترین کیفیت آب زیرزمینی مربوط به مناطق رباط بود که دارای کیفیت آب زیرزمینی نسبتاً خوب است و بدترین کیفیت آب زیرزمینی نیز مربوط به قلعه خاکی، اراضی کوشک و احمدآباد می‌باشد که دارای کیفیت آب زیرزمینی بدی است. طبق این مطالعه آب‌های زیرزمینی بخش جنوب و جنوب شرقی دشت فریمان- تربت‌جام از نظر شوری و سختی و بخش شمالی دشت از نظر پارامتر نیترات آلوگی بیشتری داشته‌اند.
تاریخ دریافت: ۱۴۰۳/۰۲/۲۴	تاریخ پذیرش: ۱۴۰۳/۱۲/۱۸
دسترسی آنلاین: ۱۴۰۴/۰۲/۱۵	
کلید واژه‌ها: کیفیت آب‌های زیرزمینی، پهنه‌بندی، IRWQIGC، شاخص IRWQIGC، تغییرات مکانی	



## **Monitoring the quality of groundwater, using the IRWQIGC index, Case Study: Fariman-Torbat Jam Plain**

**Nasrin Ezadi Mehr<sup>1✉</sup>, Qasim Zulfiqari<sup>2</sup>**

1. MSc in Environmental Engineering, Environment, Faculty of Geography and Environmental Sciences, Hakim Sabzevari University, Iran
2. Associate Professor, Department of Environmental Sciences and Engineering, Faculty of Geography and Environmental Sciences, Hakim Sabzevari University, Iran

---

### **Article Info**

### **Abstract**

**Article type:**  
Research Article

Due to the limitation of water resources, the issue of groundwater pollution has become increasingly important. The purpose of this study was to determine the quality of groundwater in the Fariman-Torbat Jam plain using the IRWQIGC index and to investigate spatial variations during the period from autumn 2019 to spring 2020. For this purpose, a total of 30 samples were collected, and the parameters of pH, total hardness, total dissolved solids (TDS), electrical conductivity (EC), and nitrate were measured across three seasons. Spatial zoning was performed using GIS software. According to the results, the IRWQIGC index values in autumn 2019, winter 2019, and spring 2020 were calculated as 45.60, 36.56, and 34.14, respectively. These results indicate that the groundwater quality in the study area was relatively good during autumn 2019, but relatively poor during winter 2019 and spring 2020. The assessment of groundwater quality at the sampling sites (wells located in Rabat, Sefid Sang, Rahmatabad, Qaleh Gak, Hayano, Qaleh Khaki, Mansourieh, Kushkak lands, Ahmadabad, and Rokhneh Gorg) showed that the best groundwater quality was observed in Rabat, with relatively good groundwater quality, while the worst quality was observed in Qaleh Khaki, Kushkak lands, and Ahmadabad, with poor groundwater quality. Based on the findings, groundwater in the southern and southeastern parts of the Fariman-Torbat Jam plain was more polluted in terms of salinity and hardness, while the groundwater in the northern part was more polluted with respect to nitrate contamination.

**Article history:**

**Received:**  
2024/05/13

**Accepted:**  
2025/03/08

**Available online:**  
2025/05/05

**Keywords:**  
quality of  
groundwater,  
zoning,  
IRWQIGC index,  
Spatial Changes

## مقدمه

شهرنشینی بدون برنامه‌ریزی، سیاست‌های اکتشاف نامحدود و تخلیه‌ی آب آلوده در محل نامناسب باعث نفوذ ترکیبات مضر به آب‌های زیرزمینی شده است (پندی و همکاران، ۲۰۰۸). دفع زباله‌های صنعتی و شهری، استفاده از مواد شیمیایی در کشاورزی (کود، علف کش و سموم دفع آفات) علل اصلی آلودگی آب‌های زیرزمینی می‌باشند (اولله و همکاران، ۲۰۰۹). بررسی کیفیت آب با دقت بالا، کلید کنترل آلودگی آب و بهبود مدیریت آب است (سینگا و همکاران، ۲۰۲۱). کیفیت آب زیرزمینی تأثیر زیادی بر سلامت انسان و توسعه کشاورزی دارد (آدیمالا و تالور، ۲۰۲۰). آلینده‌های صنعتی، تخلیه فاضلاب‌های خانگی و کشاورزی، همچنین ورود شیرابه حاصل از زباله به رواناب‌های سطحی باعث افزایش آلودگی آب‌های سطحی شده است و منابع آب سطحی را کاهش داده است. با اینکه منابع آب‌های سطحی بیشتر در معرض آلودگی قرار می‌گیرند ولی بهدلیل کمبود منابع آب شیرین و کاهش میانگین بارندگی‌ها در کشور، سفره‌های آب زیرزمینی به عنوان مهم‌ترین منابع آب شیرین دارای اهمیت فراوانی است، بنابراین حفظ کیفیت این منابع بسیار مهم است (جلیلی و همکاران، ۲۰۱۹). کمیت آب‌های زیرزمینی تحت تأثیر افزایش شهرنشینی قرار می‌گیرد. مشاهده شده است که زمین‌های برهنه و زراعی و سایر زمین‌های کم جمعیت به سکونتگاه‌های متراکم تبدیل شده‌اند که هیدرولوژی منطقه را تغییر داده است. این تغییرات شامل افزایش شوری آب و ترکیبات نیتروژن و همچنین آلودگی میکروبیولوژیکی و آلودگی فرآورده‌های نفتی است (بادینزاد و همکاران، ۲۰۲۰). کیفیت آب آبیاری بهدلیل تغییر در خصوصیات فیزیکی-شیمیایی خاک، به طور قابل توجه بر بازده محصول تأثیر می‌گذارد، به همین دلیل ارزیابی ترکیب شیمیایی خاک و آب‌های زیرزمینی قبل از استفاده از آن برای آبیاری اجباری است (اواس و همکاران، ۲۰۱۷). دشت فریمان - تربت‌جام در حوضه‌ی آبریز قره قوم ایران واقع شده است و از نظر آبهای سطحی بسیار فقیر است، به همین دلیل فشار عمدی بر روی برداشت از آبهای زیرزمینی برای مصارف مختلف شهری، صنعتی و کشاورزی است. تراز سطح آب زیرزمینی دشت فریمان - تربت‌جام از ۱۲۰۰ متر در غرب دشت تا ۷۶۰ متر در جنوب شرقی دشت در احمدآباد متفاوت است (بیزانی و همکاران، ۱۳۹۵). هدف از این مطالعه تعیین کیفیت آب‌های زیرزمینی دشت فریمان - تربت‌جام با استفاده از شاخص IRWQI<sub>GC</sub> و بررسی تغییرات مکانی در بازه زمانی پاییز ۹۸- بهار ۹۹ بود.

## مواد و روش‌ها

در مدت زمان مورد مطالعه (پاییز ۹۸- بهار ۹۹) از ۳۰ چاه عمیق دشت فریمان- تربت‌جام نمونه‌برداری شده است و کیفیت آب‌های زیرزمینی دشت فریمان- تربت‌جام با استفاده از شاخص IRWQI<sub>GC</sub> تعیین شده است. برای این مطالعه پارامترهای فیزیکی-شیمیایی (NO<sub>3</sub>, EC, TH, pH, TDS) اندازه‌گیری شده‌اند و در نهایت پهنه‌بندی مکانی با نرم‌افزار (GIS) انجام شده است. برای رسم نمودارها از نرم‌افزار Excel استفاده شده است.

## -شاخص IRWQI<sub>GC</sub>

شاخص کیفی منابع آبی ایران است. پژوهشکده علوم محیطی دانشگاه شهید بهشتی تحت نظارت سازمان محیط‌زیست در سال ۱۳۹۰، راهنمای محاسبه شاخص کیفیت آب‌های زیرزمین IRWQI<sub>GC</sub> را برای پارامترهای مختلف آب منتشر کرده است. برای محاسبه شاخص کیفیت آب‌های زیرزمین IRWQI<sub>GC</sub>، تعدادی پارامتر پیشنهاد شده است که به هر کدام از آن‌ها متناسب با نقشی که در ایجاد آلودگی دارند، وزنی طبق جدول (۱) تعلق گرفته است.

جدول (۱): پارامترهای شاخص IRWQI<sub>GC</sub> و وزن آنها

ردیف	پارامتر	وزن	واحد اندازه‌گیری
۱	نیترات	۰/۱۵۱	بر حسب میلی گرم بر لیتر
۲	کلیفرم مدفع	۰/۱۳۴	MPN/100ml
۳	هدایت الکتریکی	۰/۱۲۹	بر حسب میکرو زیمنس بر سانتی متر
۴	سختی کل (TH)	۰/۱۰۳	بر حسب میلی گرم بر لیتر کربنات کلسیم
۵	SAR	۰/۰۸۹	-
۶	BOD	۰/۰۸۸	بر حسب میلی گرم بر لیتر
۷	فسفات	۰/۰۸۵	بر حسب میلی گرم بر لیتر
۸	COD	۰/۰۸	بر حسب میلی گرم بر لیتر
۹	PH	۰/۰۷۴	بر اساس استاندارد
۱۰	اکسیژن محلول	۰/۰۶۷	بر حسب درصد اشباع

برای محاسبه شاخص IRWQI<sub>GC</sub> از رابطه (۱) استفاده می‌کنیم.

$$\text{IRWQI}_{\text{GC}} = \left[ \prod_{i=1}^n I_i^{w_i} \right]^{\frac{1}{y}} \quad (1)$$

در این رابطه  $w_i$  وزن هر پارامتر است،  $n$  تعداد پارامترها و  $I_i$  مقدار شاخص برای هر پارامتر است. مقدار شاخص ( $I_i$ ) هر پارامتر از طریق نمودار مربوط به آن پارامتر در نشریه راهنمای محاسبه شاخص کیفیت آب مشخص شده است.

طبق رابطه (۲) از مجموع وزن پارامترهای در دسترس وزن کل برای محاسبه شاخص کیفیت آب محاسبه شده است.

$$Y = \sum_{i=1}^n w_i \quad (2)$$

پس از محاسبه مقدار شاخص IRWQI<sub>GC</sub> محدوده کیفیت آب طبق جدول (۲) مشخص شده است.

جدول (۲): معادل توصیفی شاخص کیفیت آب‌های زیرزمینی

معادل توصیفی	مقدار شاخص
خیلی بد	کمتر از ۱۵
بد	۱۵-۲۹/۹
نسبتاً بد	۳۰-۴۴/۹
متوسط	۴۵-۵۵
نسبتاً خوب	۵۵/۱-۷۰
خوب	۷۰/۱-۸۵
بسیار خوب	بیشتر از ۸۵

## معرفی روش‌های تجزیه، تحلیل و درون‌بابی مورد استفاده برای پهنه‌بندی کیفیت آب روش کار پهنه‌بندی

برای انجام درون‌بابی مکانی (پهنه‌بندی) ابتدا پارامترهای هدایت الکتریکی (EC)، کل مواد جامد محلول (TDS)، نیترات (NO<sub>3</sub>)، سختی کل (TH) و (pH) با استفاده از روش تحلیل سلسله مراتبی به صورت زوج مقایسه شده‌اند تا وزن پارامترها مشخص شود. سپس با استفاده از روش درون‌بابی عکس مجذور فاصله (IDW)، نقشه‌های رستrix در GIS استخراج و رتبه‌بندی شده‌اند. بیشترین رتبه به بدترین کیفیت و کمترین رتبه به بهترین کیفیت هر پارامتر داده شده و در نهایت وزن‌های هر یک از پارامترهای کیفیت آب زیرزمینی برای هر یک از لایه‌ها اعمال شده است.

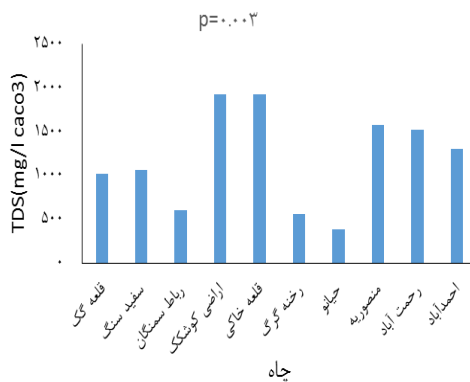
جدول (۳): جدول استاندارد پارامترهای TDS و TH (طبق استاندارد اروپا و ایران)

حداکثر مجاز (ایران)	حداکثر مطلوب (اروپا)	پارامتر
۱۵۰۰	۱۰۰۰	TDS
۵۰۰	۲۰۰	TH

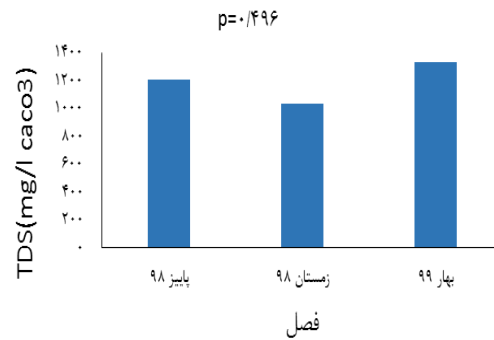
### یافته‌ها

- بررسی میانگین غلظت پارامتر TDS بین فصل‌ها و چاه‌های مختلف

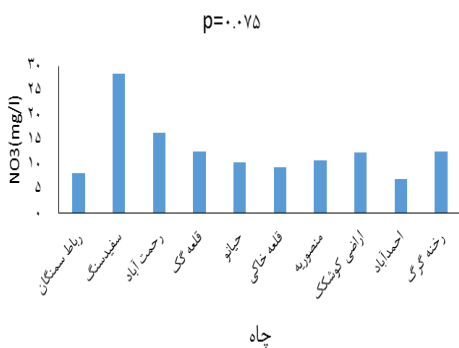
میانگین غلظت پارامترهای pH, EC, NO<sub>3</sub>, TDS در محدوده زمانی مورد مطالعه (پاییز ۹۸- بهار ۹۹) در شکل‌های (۱) - (۴) نشان داده شده است.



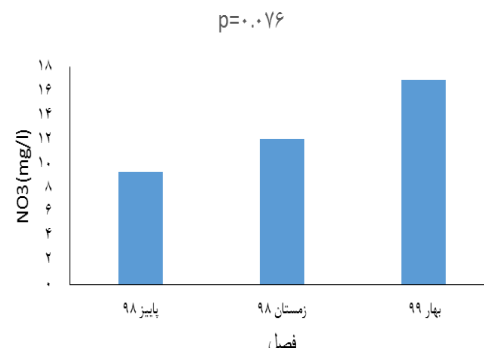
شکل(۲): میانگین غلظت TDS در چاه‌های مختلف (Caco3 mg/l)



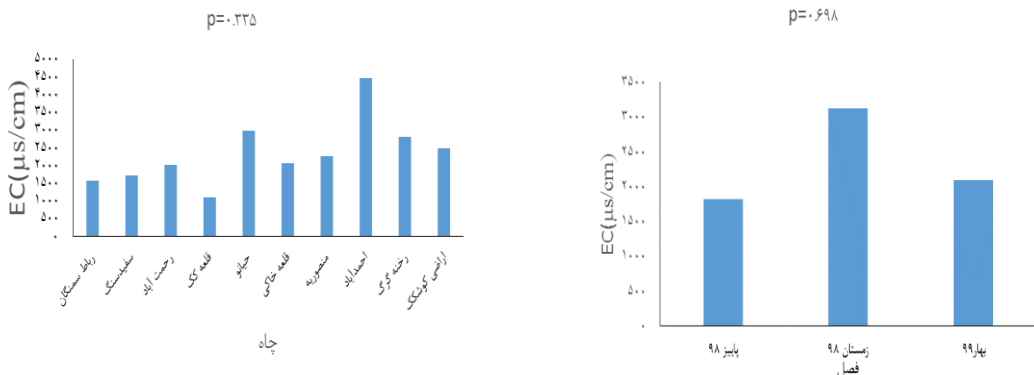
شکل(۱): میانگین غلظت TDS در فصل‌های مختلف (Caco3 mg/l)



شکل(۴): میانگین غلظت NO3 در چاه‌های مختلف

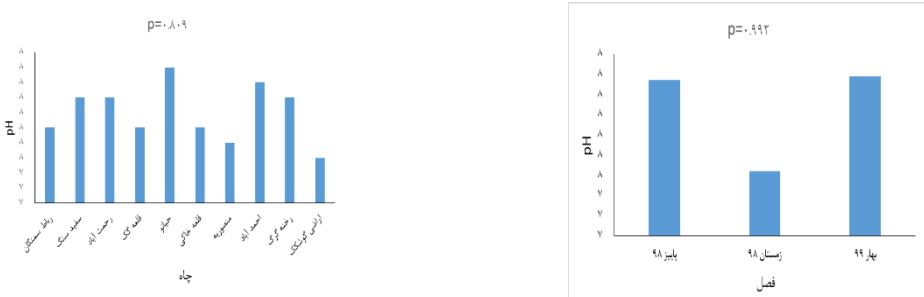


شکل(۳): میانگین غلظت پارامتر NO3 در فصل‌های مختلف



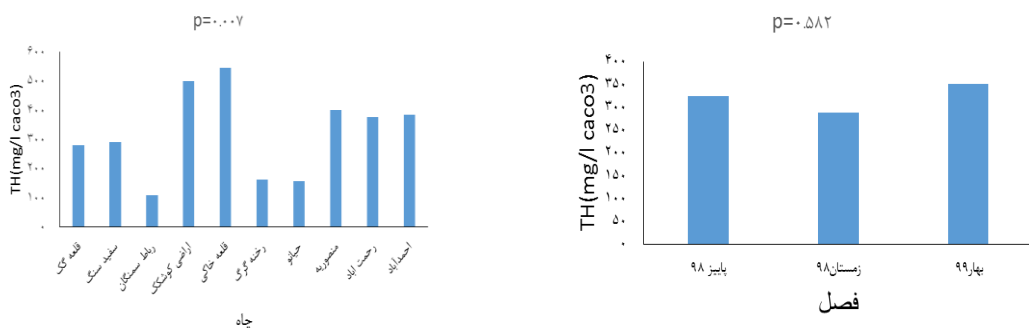
شکل(۶): میانگین غلظت پارامتر EC در چاههای مختلف

شکل(۵): میانگین غلظت پارامتر EC در فصل‌های مختلف



شکل(8): میانگین غلظت پارامتر pH در چاههای مختلف

شکل(7): میانگین غلظت پارامتر pH در فصل‌های مختلف



شکل(10): میانگین غلظت پارامتر TH در چاههای مختلف

شکل (۹): میانگین غلظت پارامتر TH در فصل‌های مختلف

شکل(۱) و (۲) نشان دهنده بیشترین میانگین غلظت مواد جامد محلول (TDS) در فصل بهار ۹۹ و مناطق اراضی کوشک و قلعه خاکی بوده است. شکل(۳) و (۴) نشان دهنده بیشترین میانگین غلظت نیترات( $\text{NO}_3^-$ ) در بهار ۹۹ و منطقه سفید سنگ است. شکل(۵) و (۶) نشان دهنده بیشترین میانگین هدایت الکتریکی آب (EC) در زمستان ۹۸ و منطقه سفید سنگ است. شکل(۷) و (۸) نشان دهنده بیشترین میانگین اسیدیته آب (pH) در بهار ۹۹ و منطقه حیانو است و شکل(۹) و (۱۰) نیز نشان دهنده بیشترین میانگین سختی آب (TH) در بهار ۹۹ و منطقه قلعه خاکی بوده است.

### -کیفیت آب زیرزمینی دشت تربت‌جام- فریمان در فصل‌ها و چاههای مختلف طبق شاخص IRWQIGC

کیفیت آب زیرزمینی دشت تربت‌جام- فریمان در بازه زمانی بهار ۹۹- پاییز ۹۸ طبق جدول (۴) می‌باشد.

جدول (۴): کیفیت آب زیرزمینی دشت تربت‌جام- فریمان در فصل‌های مختلف

IRWQIGC	ردۀ بندی طبق جدول توصیفی شاخص	معادل توصیفی	مقدار شاخص IRWQIGC	بازه زمانی
ردۀ پنجم	نسبتاً خوب	۶۰/۴۵	پاییز ۹۸	
ردۀ سوم	نسبتاً بد	۳۶/۵۶	زمستان ۹۸	
ردۀ سوم	نسبتاً بد	۳۴/۱۴	بهار ۹۹	

جدول (۵): کیفیت آب زیرزمینی چاههای مورد مطالعه‌ی دشت تربت‌جام- فریمان

IRWQIGC	ردۀ بندی طبق جدول توصیفی شاخص	معادل توصیفی	مقدار شاخص IRWQIGC	ایستگاه (چاه)
ردۀ پنجم	نسبتاً خوب	۸/۵۴	رباط سمنگان	
ردۀ سوم	نسبتاً بد	۳۴/۵۴	سفید سنگ	
ردۀ سوم	نسبتاً بد	۳۳/۶۷	رحمت‌آباد	
ردۀ چهارم	متوسط	۵۲/۳۲	قلعه گک	
ردۀ سوم	نسبتاً بد	۳۷/۵۹	حیانو	
ردۀ دوم	بد	۲۸/۷۵	قلعه خاکی	
ردۀ سوم	نسبتاً بد	۳۵/۹۹	منصور به	
ردۀ دوم	بد	۲۹/۷۶	اراضی کوشک	
ردۀ دوم	بد	۲۹/۲	احمدآباد	
ردۀ سوم	نسبتاً بد	۳۸/۷۳	رخنه گرگ	

طبق نتایج جدول (۴) آب‌های زیرزمینی محدوده مورد مطالعه در زمستان ۹۸ و بهار ۹۹ با داشتن مقادیر کیفی ۳۶/۵۶ و ۳۴/۱۴ در ردۀ سوم جدول توصیفی شاخص IRWQIGC قرار گرفته‌بود و دارای کیفیت آب زیرزمینی نسبتاً بدی بودند و در پاییز ۹۸ کیفیت آب زیرزمینی دشت فریمان- تربت‌جام با داشتن مقدار کیفی ۶۰/۴۵ در ردۀ پنجم قرار گرفته‌بود و دارای کیفیت آب زیرزمینی نسبتاً خوب بودند. نتایج جدول (۵) نشان داده است، ۵۰ درصد از چاههای مورد مطالعه در ردۀ سوم جدول توصیفی شاخص IRWQIGC قرار گرفته است و دارای کیفیت آب زیرزمینی نسبتاً بد بودند، ۳۰ درصد در ردۀ دوم قرار گرفته‌اند و دارای کیفیت آب زیرزمینی بدی بودند، ۱۰ درصد در ردۀ پنجم جدول توصیفی شاخص IRWQIGC قرار گرفته‌اند و دارای کیفیت آب زیرزمینی نسبتاً خوب بودند و ۱۰ درصد هم در ردۀ چهارم قرار گرفته‌اند و دارای کیفیت آب زیرزمینی متوسط بودند. طبق این نتایج بهترین کیفیت آب زیرزمینی دشت تربت‌جام- فریمان در بازه زمانی بهار ۹۹- پاییز ۹۸ مربوط به چاه منطقه‌ی رباط سمنگان بود که در ردۀ پنجم جدول توصیفی شاخص IRWQIGC قرار گرفته است و دارای کیفیت آب زیرزمینی نسبتاً خوب می‌باشد. بدترین کیفیت آب زیرزمینی مربوط به چاههای مناطق قلعه خاکی، اراضی کوشک و احمدآباد بود که در ردۀ دوم جدول توصیفی شاخص IRWQIGC قرار گرفته است و دارای کیفیت آب زیرزمینی بدی بوده است.

- طبقه‌بندی کیفیت آب منطقه مورد مطالعه بر اساس خطر شوری برای آبیاری، طبق طبقه‌بندی ویلکاکس در جدول (۷) نشان داده شده است.

جدول (۶): طبقه‌بندی کیفیت آب کشاورزی بر اساس خطر شوری طبق طبقه‌بندی ویلکاکس

ردی	آب کشاورزی کیفی	رده‌بندی ویلکاکس	EC (میکرو زیمنس بر سانتی‌متر)	خطر شوری	کیفیت
۱	خوب	C <sub>1</sub>	<۲۵۰	کم	مناسب برای همه نوع خاک
۲	خوب	C <sub>2</sub>	۷۵۰-۲۵۰	متوسط	تقریباً مناسب (به جز گیاهان حساس به شوری)
۳	متوسط	C <sub>3</sub>	۲۲۵۰-۷۵۰	زیاد	نامناسب (به جز خاک‌های زهکش دار و گیاهان با تحمل بالا)
۴	نامناسب	C <sub>4</sub>	>۲۲۵۰	خیلی زیاد	غیر قابل استفاده (به جز برای گیاهان بسیار مقاوم)

جدول (۷): طبقه‌بندی کیفیت آب منطقه مورد مطالعه بر اساس خطر شوری طبق طبقه‌بندی ویلکاکس

طبقه‌بندی ویلکوکس بر اساس مقدار پارامتر EC (میکرو زیمنس بر سانتی‌متر)	طبقه‌بندی کیفی آب کشاورزی کاملاً مناسب	شیرین برای کشاورزی با تمیه‌دات مناسب	کمی شور و برای کشاورزی تقریباً مناسب	خیلی شور مضر برای کشاورزی	ردی
رده‌بندی ویلکوکس	C <sub>1</sub>	C <sub>2</sub>	C <sub>3</sub>	C <sub>4</sub>	
<۲۵۰	<۲۵۰	۷۵۰-۲۵۰	۲۲۵۰-۷۵۰	>۲۲۵۰	
چاهها	-	-	-	رخنه گرگ، حیانو، احمدآباد، اراضی کوشک، قلعه خاکی، منصور به	
فصلها	-	-	-	پاییز، بهار	زمستان

آب‌های زیرزمینی منطقه مورد مطالعه از نظر سختی کل (TH)، طبق جدول (۸) طبقه‌بندی شده است.

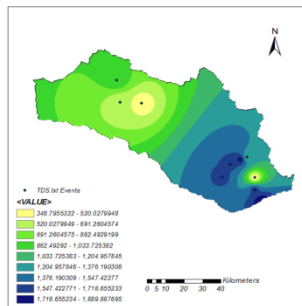
جدول (۸): طبقه‌بندی آب‌های زیرزمینی بر اساس سختی کل (TH)

درصد نمونه	تعداد نمونه	تقسیم بندی آب	سختی کل ((mg/l)) (TH)
-	-	نرم	<۷۵
۱۰٪	رباط (۱)	سختی متوسط	۷۵-۱۵۰
۴۰٪	(سفید سنگ، قلعه گک، حیانو، رخنه گرگ)	سخت	۱۵۰-۳۰۰
۵۰٪	(رحمت‌آباد، قلعه خاکی، منصور به، اراضی کوشک، احمدآباد)	خیلی سخت	>۳۰۰

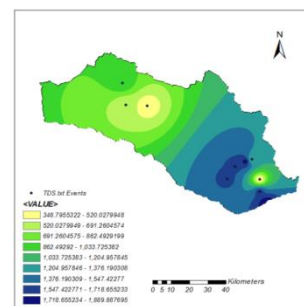
طبق نتایج جدول (۸)، ۰.۵٪ از مناطق مورد مطالعه در رده خیلی سخت، ۰.۴٪ در رده سخت و ۰.۱٪ در رده سختی متوسط قرار گرفته است.

- نقشه‌های پهنه‌بندی

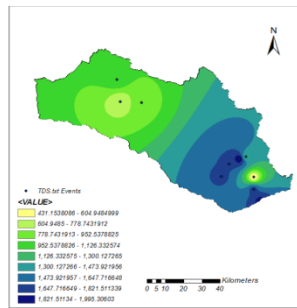
- نقشه‌های پهنه‌بندی پارامتر TDS



شکل(۱۲): نقشه پهنه‌بندی پارامتر TDS در فصل زمستان



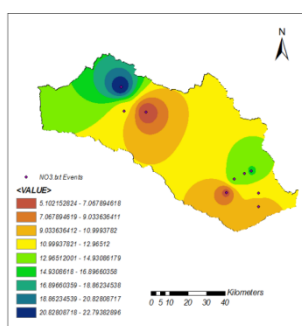
شکل(۱۱): نقشه پهنه‌بندی پارامتر TDS در فصل پاییز



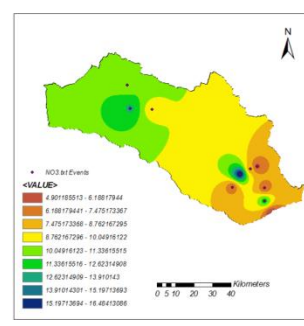
شکل(۱۳): نقشه پهنه‌بندی پارامتر TDS در فصل بهار

نتایج نقشه‌های پهنه‌بندی پارامتر کل جامدات محلول (TDS) در شکل‌های (۱۱-۱۳) نشان داده است که در فصل پاییز و زمستان، ۹۸٪ مقدار TDS در ۰.۵۰٪ دشت فریمان-تریت جام کمتر از حداقل مطلوب ۱۰۰۰ میلی گرم بر لیتر کربنات کلسیم، در ۰.۲۵٪ محدوده مورد مطالعه بیشتر از حداقل مطلوب ۱۰۰۰ میلی گرم بر لیتر کربنات کلسیم و کمتر از حداقل مجاز ۱۵۰۰ میلی گرم بر لیتر کربنات کلسیم می‌باشد و در ۰.۲۵٪ محدوده مورد مطالعه بیشتر از حداقل مجاز ۱۵۰۰ میلی گرم بر لیتر کربنات کلسیم می‌باشد. در فصل بهار ۹۹٪ مقدار TDS در ۰.۵۰٪ دشت فریمان-تریت جام کمتر از حداقل مطلوب ۱۰۰۰ میلی گرم بر لیتر کربنات کلسیم، در ۰.۳۰٪ محدوده مورد مطالعه بیشتر از حداقل مطلوب ۱۰۰۰ میلی گرم بر لیتر کربنات کلسیم و کمتر از حداقل مجاز ۱۵۰۰ میلی گرم بر لیتر کربنات کلسیم و در ۰.۲۰٪ محدوده مورد مطالعه بیشتر از حداقل مجاز ۱۵۰۰ میلی گرم بر لیتر کربنات کلسیم وجود داشت.

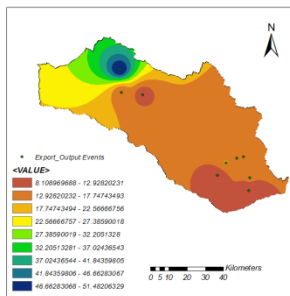
- نقشه‌های پهنه‌بندی پارامتر NO3



شکل(۱۵): نقشه پهنه‌بندی پارامتر NO3 در فصل زمستان

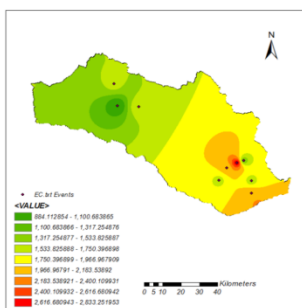


شکل(۱۴): نقشه پهنه‌بندی پارامتر NO3 در فصل پاییز

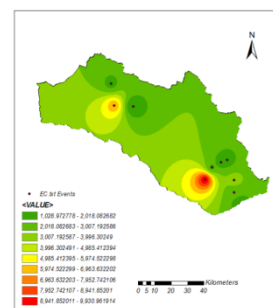
شکل(۱۶): نقشه پهنه‌بندی پارامتر NO<sub>3</sub> در فصل بهار

نتایج نقشه‌های پهنه‌بندی پارامتر نیترات(NO<sub>3</sub>) در شکل‌های (۱۴-۱۶) نشان داده است که در فصل پاییز ۹۸ مقدار پارامتر NO<sub>3</sub> از قسمت شرق و جنوب شرقی به سمت غرب و شمال غربی دشت فریمان-تربت جام و به اطراف رو به افزایش است که بیشترین مقدار غلظت NO<sub>3</sub> در این فصل در بخش جنوبی محدوده مطالعه مشاهده شده است. در فصل زمستان ۹۸ مقدار پارامتر<sub>3</sub> NO از قسمت مرکزی به اطراف و بخش شمالی دشت فریمان-تربت جام و همچنین از بخش جنوبی به اطراف محدوده مطالعه رو به افزایش است، که بیشترین غلظت NO<sub>3</sub> در این فصل در بخش شمال محدوده مطالعه مشاهده شده است. در فصل بهار ۹۹ مقدار پارامتر NO<sub>3</sub> از جنوب به سمت بخش شمال دشت فریمان-تربت جام رو به افزایش می‌باشد، که بیشترین غلظت NO<sub>3</sub> در این فصل در بخش شمالی محدوده مطالعه مشاهده شده است.

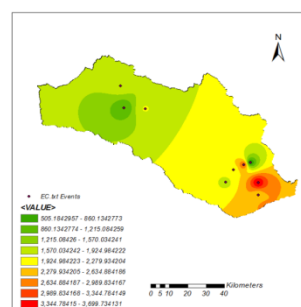
#### -نقشه‌های پهنه‌بندی پارامتر EC-



شکل(۱۸): نقشه پهنه‌بندی پارامتر EC در فصل زمستان



شکل(۱۷): نقشه پهنه‌بندی پارامتر EC در فصل پاییز

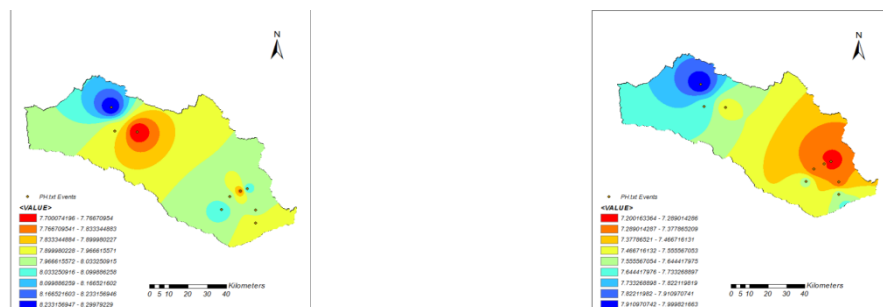


شکل(۱۹): نقشه پهنه‌بندی پارامتر EC در فصل بهار

نتایج نقشه‌های پهنه‌بندی پارامتر EC در شکل‌های (۱۷-۱۹) نشان داده است که در فصل پاییز ۹۸ مقدار پارامتر EC از غرب به شرق و از شمال غربی به جنوب شرقی دشت فریمان-تربت جام رو به افزایش است که بیشترین مقدار غلظت EC در این

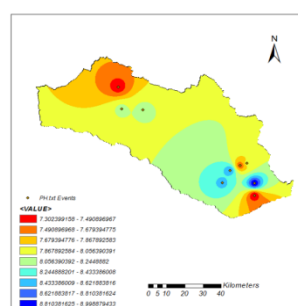
فصل در بخش جنوب شرقی محدوده مورد مطالعه مشاهده شده است. در فصل زمستان ۹۸ مقدار پارامتر EC از شمال به جنوب و از شمال غربی به جنوب غربی دشت فریمان - تربت جام رو به افزایش است، که بیشترین غلظت EC در این فصل در بخش جنوبی محدوده مورد مطالعه مشاهده شده است. در فصل بهار ۹۹ مقدار پارامتر EC از شمال غربی به جنوب شرقی دشت فریمان - تربت جام رو به افزایش می باشد، که بیشترین غلظت EC در این فصل در بخش جنوب شرقی محدوده مورد مطالعه مشاهده شده است.

#### - نقشه های پهنه بندی پارامتر pH



شکل(۲۱): نقشه پهنه بندی پارامتر pH در فصل زمستان

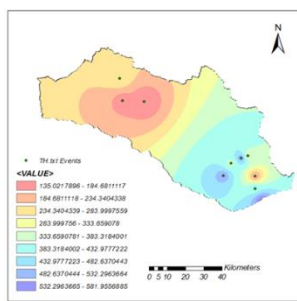
شکل(۲۰): نقشه پهنه بندی پارامتر pH در فصل پاییز



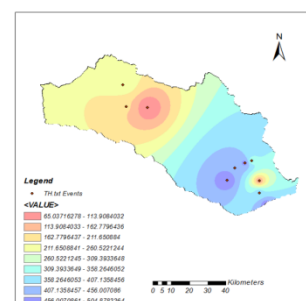
شکل(۲۲): نقشه پهنه بندی پارامتر pH در فصل بهار

نتایج نقشه های پهنه بندی پارامتر pH در شکل های (۲۰-۲۲) نشان داده است که در فصل پاییز ۹۸ مقدار پارامتر pH از قسمت مرکزی دشت فریمان - تربت جام به اطراف رو به افزایش است که بیشترین مقدار غلظت pH در این فصل در بخش شمال غربی محدوده مورد مطالعه مشاهده شده است. در فصل زمستان ۹۸ مقدار پارامتر pH از شرق به غرب و شمال غربی دشت فریمان - تربت جام رو به افزایش است، که بیشترین غلظت pH در این فصل در بخش شمال غربی محدوده مورد مطالعه مشاهده شده است. در فصل بهار ۹۹ مقدار پارامتر pH از جنوب شرقی و شمال غربی به سمت بخش مرکزی دشت فریمان - تربت جام رو به افزایش می باشد، که بیشترین غلظت pH در این فصل در بخش شرقی محدوده مورد مطالعه مشاهده شده است.

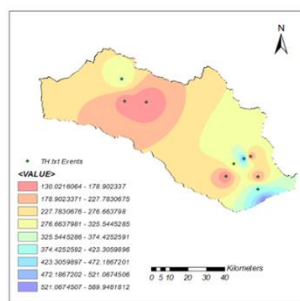
### - نقشه‌های پهنه‌بندی پارامتر TH



شکل(۲۴): نقشه پهنه‌بندی پارامتر TH در فصل زمستان



شکل(۲۳): نقشه پهنه‌بندی پارامتر TH در فصل پاییز



شکل(۲۵): نقشه پهنه‌بندی پارامتر TH در فصل بهار

نتایج نقشه‌های پهنه‌بندی پارامتر TH در شکل‌های (۲۳-۲۵) نشان داده است که در هر سه فصل مورد مطالعه مقدار پارامتر TH از قسمت مرکزی به اطراف و سمت شمال و جنوب دشت فریمان-تریت جام رو به افزایش بود که بیشترین مقدار غلظت TH در این فصل‌ها در بخش جنوبی محدوده مطالعه مشاهده شده است. در فصل پاییز، ۹۸٪ مقدار TH در ۳۰٪ دشت فریمان-تریت جام کمتر از حداکثر مطلوب ۲۰۰ میلی‌گرم بر لیتر کربنات کلسیم، در ۶۰٪ محدوده مطالعه بیشتر از حداکثر مطلوب ۲۰۰ میلی‌گرم بر لیتر کربنات کلسیم و کمتر از حداکثر مجاز ۵۰۰ میلی‌گرم بر لیتر کربنات کلسیم و در ۱۰٪ محدوده مطالعه بیشتر از حداکثر مجاز ۵۰۰ میلی‌گرم بر لیتر کربنات کلسیم بود. در فصل زمستان ۹۸٪ بهار ۹۹٪ و بهار ۹۸٪ مقدار TH در ۲۵٪ دشت فریمان-تریت جام کمتر از حداکثر مطلوب ۲۰۰ میلی‌گرم بر لیتر کربنات کلسیم، در ۷۰٪ محدوده مطالعه بیشتر از حداکثر مطلوب ۲۰۰ میلی‌گرم بر لیتر کربنات کلسیم و کمتر از حداکثر مجاز ۵۰۰ میلی‌گرم بر لیتر کربنات کلسیم و در ۵٪ محدوده مطالعه بیشتر از حداکثر مجاز ۵۰۰ میلی‌گرم بر لیتر کربنات کلسیم مشاهده شده است.

### بحث و نتیجه‌گیری

با توجه به نتایج به دست آمده با استفاده از شاخص IRWQI<sub>GC</sub> طبق جدول (۴و۵)، بهترین کیفیت آب زیرزمینی دشت فریمان-تریت جام در بازه‌ی زمانی پاییز ۹۸-بهار ۹۹ مربوط به فصل پاییز ۹۸ و چاه رباط سمنگان بوده است. طبق این نتایج پایین‌ترین کیفیت آب زیرزمینی در بهار ۹۹ و در منطقه قلعه خاکی محاسبه شده است. نتایج نقشه‌های پهنه‌بندی پارامتر کل جامدات محلول (TDS) نشان داده است، مقدار TDS در فصل پاییز و زمستان ۹۸ در ۲۵٪ محدوده مطالعه و در فصل بهار ۹۹ در ۲۰٪ محدوده مطالعه بیشتر از حداکثر مجاز ۱۵۰۰ میلی‌گرم بر لیتر می‌باشد. مقدار متوسط کل جامدات محلول (TDS) در اراضی رحمت‌آباد، قلعه خاکی، منصور به و اراضی کوشک بیشتر از حداکثر مجاز ۱۵۰۰ میلی‌گرم بر لیتر محاسبه شده است و بخش جنوب شرقی دشت فریمان-تریت جام بیشترین غلظت را نشان داده است. نتایج بررسی کیفیت آب‌های زیرزمینی محدوده

مورد مطالعه از نظر خطر شوری طبقه بندی ویلکاکس در جدول (۷) نشان داده است؛ مقدار پارامتر EC که بیانگر شوری آب‌های زیرزمینی است، در فصل زمستان بالاتر از حد استاندارد کیفیت آب زیرزمینی برای مصارف کشاورزی بوده است. مقدار این پارامتر در فصل پاییز ۹۸ و بهار ۹۹ در محدوده استاندار محاسبه شده است. طبق جدول (۷)، ۰.۶٪ مناطق مورد مطالعه در طبقه‌ی شور و برای کشاورزی با تمہیدات مناسب و ۴۰٪ در طبقه‌ی خیلی شور و مضر برای کشاورزی قرار گرفته‌اند. با توجه به نقشه‌های پهنه‌بندی پارامتر EC، بیشترین مقدار پارامتر EC در بخش جنوب و جنوب شرقی محدوده مورد مطالعه مشاهده شده است. طبق نقشه‌های پهنه‌بندی پارامتر نیترات ( $\text{NO}_3$ )، بیشترین مقدار نیترات آب‌های زیرزمینی دشت فریمان-تریت‌جام شده است. طبق نیترات‌های پهنه‌بندی پارامتر EC، بیشترین مقدار نیترات ( $\text{NO}_3$ ) بیان کردند، عامل اصلی آلوگی آبهای زیرزمینی به در بخش شمالی محدوده مشاهده شده است. (ایزانلو و همکاران، ۱۳۸۸) بیان کردند، عامل اصلی آلوگی آبهای زیرزمینی به نیترات‌ورود فاضلاب‌ها و رواناب‌های کشاورزی به منابع آب‌های زیرزمینی است و در بسیاری از کشورهای جهان از قبیل انگلستان، چین، استرالیا و ترکیه غلظت‌های بالای نیترات در آبهای زیرزمینی مشاهده شده است. طبق نقشه‌های پهنه‌بندی پارامتر  $\text{pH}$  بیشترین مقدار غلظت آن در بخش شمال غربی محدوده مورد مطالعه مشاهده شده است. همچنین طبق نقشه‌های پهنه‌بندی پارامتر سختی کل (TH) در فصل پاییز ۹۸، مقدار TH در ۱۰٪ محدوده مورد مطالعه و در فصل زمستان ۹۸ و بهار ۹۹ در ۵٪ محدوده مورد مطالعه بیشتر از حداکثر مجاز ۵۰۰ میلی گرم بر لیتر می‌باشد و بیشترین مقدار غلظت آن در بخش جنوبی دشت فریمان-تریت‌جام مشاهده شده است. مقدار متوسط بارندگی دشت فریمان-تریت‌جام در پاییز ۹۸، ۴۱/۴۳ میلی‌متر، در زمستان ۹۸، ۵ میلی‌متر و در بهار ۹۹، ۱۶/۳۳ میلی‌متر بوده است، با توجه به این مقادیر فصل پاییز ۹۸ بیشتر بارندگی و فصل زمستان ۹۸ کمترین بارندگی را در بازه زمانی مورد مطالعه (پاییز ۹۸-بهار ۹۹) داشته است. با توجه به نتایج بدست آمده احتمال می‌رود بین میزان بارندگی و تغییرات پارامترهای EC، TDS، TH،  $\text{NO}_3$  و  $\text{pH}$  ارتباطی برقرار باشد، بهدلیل اینکه نقشه‌های پهنه‌بندی این پارامترها با اختلاف ناچیزی در فصل پاییز که میزان بارندگی بیشتری داشته است مقادیر قابل قبولتری از این پارامترها را نشان می‌دهد. مقدار پارامتر نیترات ( $\text{NO}_3$ ) و  $\text{pH}$  طبق نقشه‌های پهنه‌بندی در فصل بهار ۹۹ بیشتر است، با وجود اینکه بارندگی فصل بهار نسبت به فصل زمستان مقادیر بیشتری را نشان می‌دهد، احتمالاً دلیل این است که در فصل بهار فعالیت‌های انسانی و استفاده از آب‌های زیرزمینی برای مصارف آبیاری نسبت به فصل زمستان بیشتر است و با وجود بارش بهدلیل برداشت بی رویه افت سطح آب‌های زیرزمینی ایجاد شده است که این امر باعث بالا رفتن مقدار  $\text{pH}$  و  $\text{NO}_3$  آب‌های زیرزمینی در این فصل شده است. همچنین استفاده از کودهای نیترات و کودهای شیمیایی برای مزارع کشاورزی هم به این امر تأثیر گذاشته است. پیشنهاد می‌شود برای کاهش اثرات زیان‌بار افزایش سختی، شوری و اثرات افزایش نیترات، بهره‌برداری بی رویه از آب‌های زیرزمینی برای مصارف مختلف به حداقل برسد و استفاده از کودهای شیمیایی در مزارع دشت فریمان-تریت‌جام به صورت کنترل شده انجام شود. شوری آب یکی از خصوصیات مهم کیفیت آب‌های زیرزمینی برای مصارف کشاورزی است، زمانی که شوری آب‌های زیرزمینی افزایش یابد غلظت نمک در خاک بالا رفته و خاک رطوبت خود را از دست می‌دهد. برای رفع شوری منابع آب زیرزمینی پیشنهاد می‌شود کشاورزان از کودهای حاوی کلرید استفاده نکنند و محصولات زراعی مقاوم نسبت به شوری و دارای ریشه سطحی کشت شود، همچنین پیشنهاد می‌شود از روش آبیاری قطره‌ای برای حفظ رطوبت اطراف گیاه و کاهش اثرات شوری استفاده شود. از آبیاری در شرایط بادی و هوای گرم هم خودداری شود.

## منابع

- اخون، سمیرا، زارع ابیانه، حمید، بیات ورکشی، مریم (۱۳۹۳). مروری نظاممند بر مطالعات انجام شده در خصوص غلظت نیترات در منابع آبی ایران. در: نشریه سلامت و محیط، (ص ۲۰۵-۲۲۸). تهران: انجمن علمی بهداشت محیط ایران.
- ایزانلو، حسن، مجیدی، غریب، نظری، شهرام، ملکی، افشین، خزائی، محمد، طباطبایی مجد، مریم سادات، وطن خواه، مهشید (۱۳۹۴) الف. بررسی غلظت نیترات و نیتریت در منابع آب زیرزمینی شهر جیرفت. در: نشریه دانشگاه علوم پزشکی سبزوار، (ص ۱۰۴۲-۱۰۳۵). سبزوار: دانشگاه علوم پزشکی سبزوار.
- اصغری مقدم، اصغر، جوانمرد، زهرا، و دیعتی، میثم، نجیب، مرتضی (۱۳۹۴) ب. ارزیابی کیفیت منابع آب زیرزمینی با استفاده از روش‌های FGQI و GQI (مطالعه موردنی: دشت مهریان). در: فصلنامه نشریه هیدروژئو مورفولوژی، (ص ۷۹-۹۸). تبریز: دانشگاه جغرافیا و برنامه‌ریزی.

آقایی پور، نیلوفر، پیر دشتی، همت الله، زواره، محسن، اسدی، حسین، بهمنیار، محمد علی (۱۳۹۷) الف. ارزیابی تغییرپذیری مکانی برخی از خصوصیات شیمیایی و فیزیکی خاک در شالیزارهای دشت فوضات با استفاده از زمین آمار. در: نشریه پژوهش‌های کاربردی زراعی (پژوهشی و سازندگی)، (ص ۵۰-۷۱). خراسان‌رضوی: مرکز تحقیقات و آموزش کشاورزی و منابع طبیعی خراسان‌رضوی.

بهرامی نسب، رؤیا، پیر خراطی، حسین، عباس فام، علیرضا، شیخی، زهرا، بازرگان، دلنيا (۱۳۹۷) ب. ارزیابی کیفیت آب زیرزمینی دشت رشکان به منظور استفاده از آن در کشاورزی. در: اولین کنفرانس تحقیقات بنیادین در علوم کشاورزی و زیست‌محیطی. تهران: دانشگاه شهید بهشتی.

ترابی پوده، حسن، یونسی، حجت‌الله، ا، حقی‌زاده، علی، ارشیا، آزاده (۱۳۹۸) الف. ارزیابی تغییرات کیفیت منابع آب زیرزمینی و شاخص کیفیت آب‌های زیرزمینی در محدوده آبخوان‌های انجانات نجف‌آباد. در: نشریه علمی مهندسی اکوسیستم بیابان، (ص ۶۶-۵۳). کاشان: دانشگاه کاشان

سرابی، سمیه، بوداقپور، سیامک، شهبازی سحرانی، مهشید (۱۳۹۶) الف. تأثیر فعالیت‌های کشاورزی بر آلودگی آبهای زیرزمینی به نیترات در ایران. در: کنفرانس بین‌المللی کشاورزی، محیط‌زیست و منابع طبیعی در هزاره سوم. رشت: سازمان جهاد کشاورزی و اداره کل حفاظت محیط‌زیست استان گیلان.

عظمیان، سمیرا، فرقانی تهرانی، گیتی، اختری، یوسف (۱۳۹۶) ب. بررسی ویژگی‌های هیدروژئو‌شیمیایی منابع آب زیرزمینی دشت فریمان - تربت‌جام. در: پنجمین کنفرانس ملی پژوهش‌های کاربردی در مهندسی عمران، معماری و مدیریت شهری. تهران: دانشگاه صنعتی خواجه نصیرالدین طوسی.

قره محمودلو، مجتبی، حشمت‌پور، علی، جندقی، نادر، زارع، علی، مهرابی، حسین (۱۳۹۸) ب. ارزیابی کیفیت آب زیرزمینی دشت سیدان - فاروق برای هدف‌های آبیاری و شرب. در: فصلنامه نشریه علوم محیطی، (ص ۸۹-۱۰۶). تهران: پژوهشکده علوم محیطی دانشگاه شهید بهشتی.

لطیف، مسعود، موسوی، سید فرهاد، افیونی، مجید، ولایتی، سعدالله (۱۳۸۴). بررسی آلودگی نیترات و منشا یابی آن در آبهای زیرزمینی (مطالعه موردی: دشت مشهد). در: نشریه علوم کشاورزی و منابع طبیعی. گرگان: دانشگاه علوم کشاورزی و منابع طبیعی.

لشگری‌پور، غلامرضا، غفوری، محمد، دم شناس، مهدی (۱۳۸۷). تأثیر افت سطح آب‌های زیرزمینی در دشت فریمان - تربت‌جام. در: دوازدهمین همایش انجمن زمین‌شناسی. اهواز: انجمن زمین‌شناسی ایران.

موذن‌زاده، روزبه، علیزاده، امین (۱۳۹۴) ج. تعادل بخشی منابع آب زیرزمینی دشت فریمان - تربت‌جام با رویکرد مدیریتی در سطح مزرعه. در: نشریه آبیاری و زهکشی ایران، (ص ۴۰۷-۴۱۷). تهران: انجمن علمی آبیاری و زهکشی ایران.

یاسمی، سمانه، محمدزاده، حسین، مساعدی، ابوالفضل (۱۳۹۱) ب. بررسی اثر خشکسالی بر تغییرات سطح آب زیرزمینی دشت تربت‌جام - فریمان با به کارگیری شاخص‌های GRI و SPI. در: شانزدهمین همایش انجمن زمین‌شناسی ایران. شیراز: انجمن زمین‌شناسی ایران.

Adimalla, N., & Taloor, A. K. (2020). Hydrogeochemical investigation of groundwater quality in the hard rock terrain of South India using Geographic Information System (GIS) and groundwater quality index (GWQI) techniques. *Groundwater for Sustainable Development*, 10, 100288.

Awais, M., Arshad, M., Shah, S.H. H. and Anwar-ul-Haq, M. 2017. Evaluating groundwater quality for irrigated agriculture. Spatio-temporal investigations using GIS and geostatistics in Punjab, Pakistan. *Arabian Journal of Geosciences*, 10(23).1-15.

Adeyeye, J. A., Akinyemi, O.D., Awomeso, J.A., Bada, B.S., and Akintan, O.B. 2021. Geochemical investigation of groundwater salinity status in selected coastal areas of south western nigeria. *Sustainable Water Resources Management*, 7(4). 1-15.

Badeenezhad, A., Tabatabaei, H. R., Nikbakht, H. A., Radford, M., Abbasnia, A., Baghlapour, M. A., & Alhamd, M. (2020). Estimation of the groundwater quality index and investigation of the affecting factors their changes in Shiraz drinking groundwater, Iran. *Groundwater for Sustainable Development*, 11, 100435

Bhatti, N.B., Siyal, A.A., Qureshi, A.L., Solangi, G.S., Memon, N.A., and Bhatti, I.A. (2020). Impact of small dams construction on groundwater quality and level using water quality index (WQI) and GIS: Nagar parkar area of Sindh, Pakistan. *Human and Ecological Risk Assessment: An International Journal*, 26(10). 2586-2607.

Donohue, S., McCarthy, V., Rafferty, P., Orr, A., and Flynn, R. (2015). Geophysical and hydrogeological characterization of the impacts of on-site wastewater treatment discharge to groundwater in poorly productive bedrock aquifer. *Science of the Total Environment*, 523. 109-119.

Elmahdy, S. I., & Mohamed, M. M. (2012). Topographic attributes control groundwater flow and groundwater salinity of Al Ain, UAE: a prediction method using remote sensing and GIS. *J Environ Earth Sci*, 2(8), 1-13.

- Eghbalian, S., Bahmani, O. 2020. Study of Local and Temporal Changes of Groundwater Quality Standards of Hamedan-Bahar Plain Using (GIS) over a 10 Year Period. Journal of Environmental Science and Technology, 22(3), 83-98.
- Jalili, M., Hosseini, M. S., Ehrampoush, M. H., Sarlak, M., Abbasi, F., & Fallahzadeh, R. A. (2019). Use of water quality index and spatial analysis to assess groundwater quality for drinking purpose in Ardakan, Iran. Journal of Environmental Health and Sustainable Development, 4(3), 834-842.
- Krcmar, D., Tenodi, S., Grba, N., kerkez, D., Watson, M., Roncevic, S., and Dalmacija, B. (2018). Preremedial assessmwnt of the municipal landfill pollution impact on soil and shallow groundwater in subotica, Serbia. Science of the Total Environment, 615, 1341-1354.
- Nematollahi, M. J., Ebrahimi, P., Razmara, M., and Ghasemi, A. (2016). Hydrogeochemical investigations and groundwater quality assessment of Torbat-Zaveh plain, Khorasan Razavi, Iran. Environmental Monitoring and Assessment, 188(1), 1-21.
- Pandey, S. K. and Tiwari, S. 2008. Physicochemical analysis of groundwater of selected area of Ghazipur city - A case study. Nature and Science, Vol. 6 (4), pp. 25-28.
- Singha, S., Pasupuleti, S., Singha, S. S., Singh, R., & Kumar, S. (2021). Prediction of groundwater quality using efficient machine learning technique. Chemosphere, 276, 130265.
- Sivakumar, D. (2014). 'Groundwater Quality Assessment around Nagalkeni Tannery Industrial Belt'. World Academy of Science, Engineering and Technology, Open Science Index 87, International Journal of Civil and Environmental Engineering, 8(3), 324 – 329.
- Ullah, R.; Malik, R.N. and Qadir, A. 2009. Assessment of groundwater contamination in an industrial city, Sialkot, Pakistan. African Journal of Environmental Science and Technology, Vol. 3(1), pp. 429466.